

時間依存電場における Schwinger機構

田屋 英俊

慶應大 (日吉物理学教室)

[1] A. Fedotov, A. Ilderton, F. Karbstein, B. King, D. Seipt, [HT](#), and G. Torgrimsson, Phys. Rep. 1010, 1 (2023) [arXiv:2203.00019]

[2] [HT](#) and C. Ironside, Phys. Rev. D 108, 096005 (2023) [arXiv:2308.11248]

[3] X.-G. Huang and [HT](#), Phys. Rev. D 100, 016013 (2019) [arXiv:1904.08200]

[4] [HT](#), Phys. Rev. D 99, 056006 (2019) [arXiv:1812.03630]

簡単なまとめ

✓ 問題・状況設定

QED真空に「強い電場」をかける

⇒ 真空は粒子を作り壊れる (:=Schwinger機構)

✓ 今日のトークで技術的に新しいこと

これまでは主に「定常電場」に関してSchwinger機構は研究されてた

⇒ 時間依存する場合へ拡張

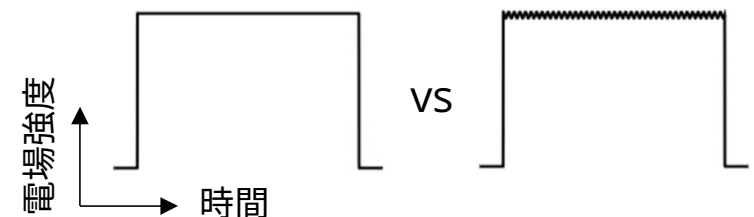
(使う道具: Furry描像の摂動論 ≡ 原子核物理とかで良く知られた歪曲波ボルン近似(DWBA)みたいな方法)

✓ 今日のトークでわかる/伝えたい物理

ほんの少しでも時間依存すると、物理は**劇的に**変わって楽しい

例1) 時間依存性による粒子生成の爆発的な増大
(:= dynamically assisted Schwinger effect)

例2) 真空複屈折



で指数関数的に生成粒子数が違う！

目次

1. 導入: 「強い電磁場の物理」と「Schwinger機構」のレビュー

2. メイン: 時間依存があるとSchwinger機構はどう変わるか？

- 準備: 摂動・非摂動的粒子生成の遷移
- Dynamically assisted Schwinger effect
- 真空複屈折

3. まとめ

目次

1. 導入: 「強い電磁場の物理」と「Schwinger機構」のレビュー

2. メイン: 時間依存があるとSchwinger機構はどう変わるか？

- 準備: 摂動・非摂動的粒子生成の遷移
- Dynamically assisted Schwinger effect
- 真空複屈折

3. まとめ

強い電磁場があると何が違うか？



真空

強い電磁場があると何が違うか？



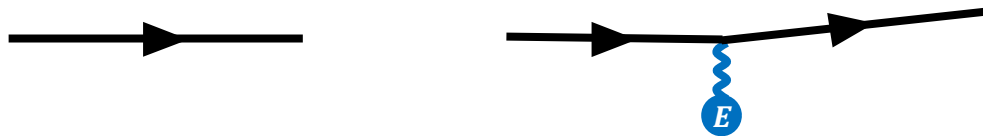
真空

弱い電磁場 ($eE/m^2 \ll 1$)

強い電磁場 ($eE/m^2 \gg 1$)



強い電磁場があると何が違うか？



真空

弱い電磁場 ($eE/m^2 \ll 1$)

強い電磁場 ($eE/m^2 \gg 1$)

摂動的な物理

⇒ 理論・実験ともに
よくわかっている

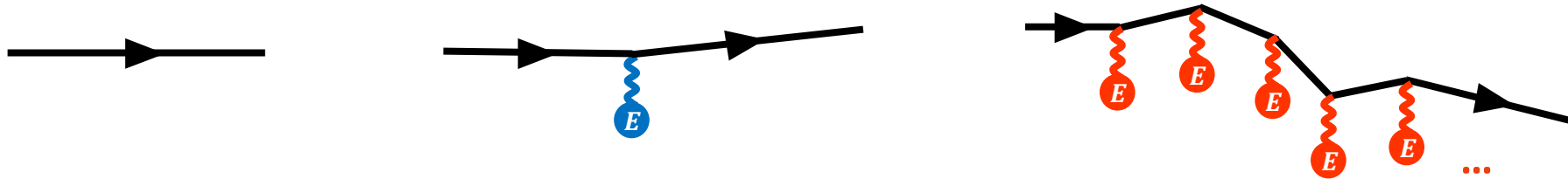
例) 電子の異常磁気モーメント

$$\alpha^{-1}(\text{theor.}) = 137.03599914 \dots$$

$$\alpha^{-1}(\text{exp.}) = 137.03599899 \dots$$

[Aoyama, Kinoshita, Nio (2017)]

強い電磁場があると何が違うか？



真空

弱い電磁場 ($eE/m^2 \ll 1$)

強い電磁場 ($eE/m^2 \gg 1$)

摂動的な物理

⇒ 理論・実験ともに
よくわかっている

例) 電子の異常磁気モーメント

$$\alpha^{-1}(\text{theor.}) = 137.03599914 \dots$$

$$\alpha^{-1}(\text{exp.}) = 137.03599899 \dots$$

[Aoyama, Kinoshita, Nio (2017)]

非摂動的な物理

⇒ 実験的に人類未踏の領域
呼応して、理論も未成熟

例) これまでのギネス記録:

HERCULESレーザー @ アメリカ(2008)

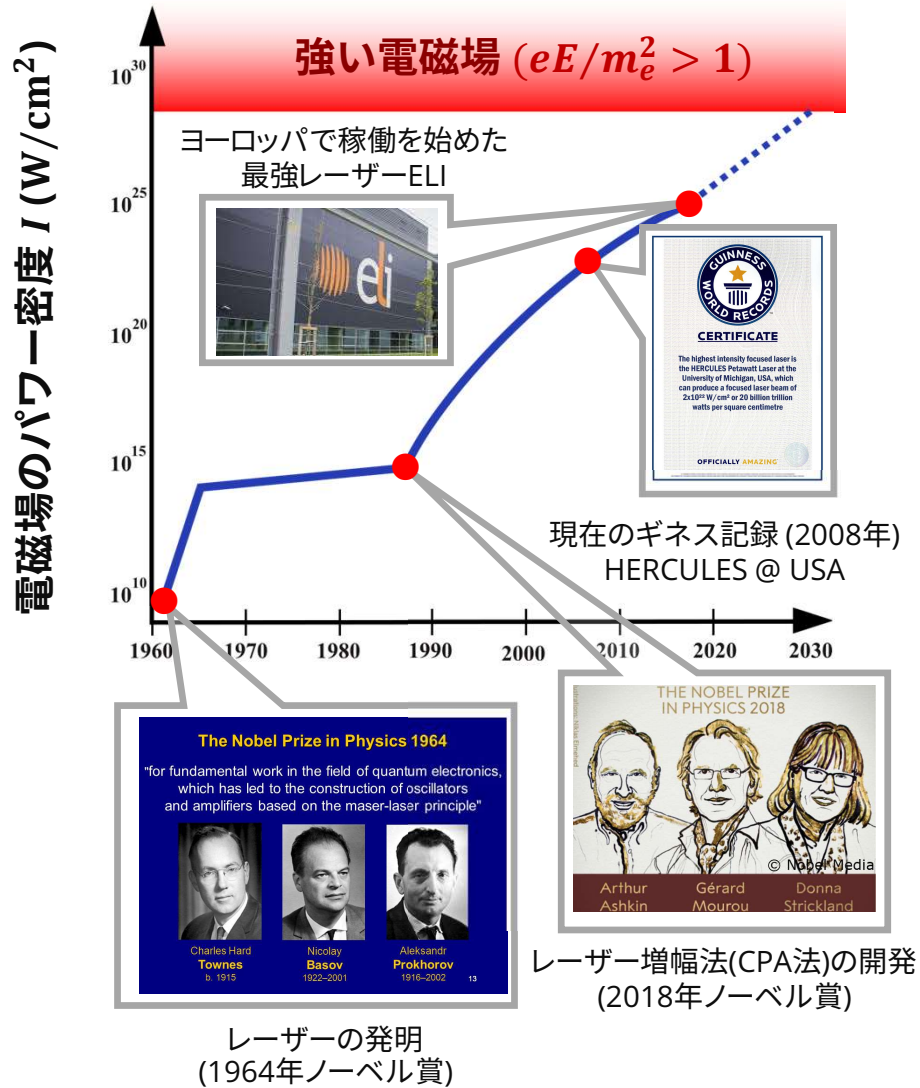
$$\Rightarrow eE \sim (1 \text{ keV})^2 \ll m_e^2 \sim (511 \text{ keV})^2$$

しかし、今まさに強い電磁場の実験・観測が可能になりつつある

∴ 強い電磁場の物理の研究は今まさにタイムリー

しかし、今まさに強い電磁場の実験・観測が可能になりつつある

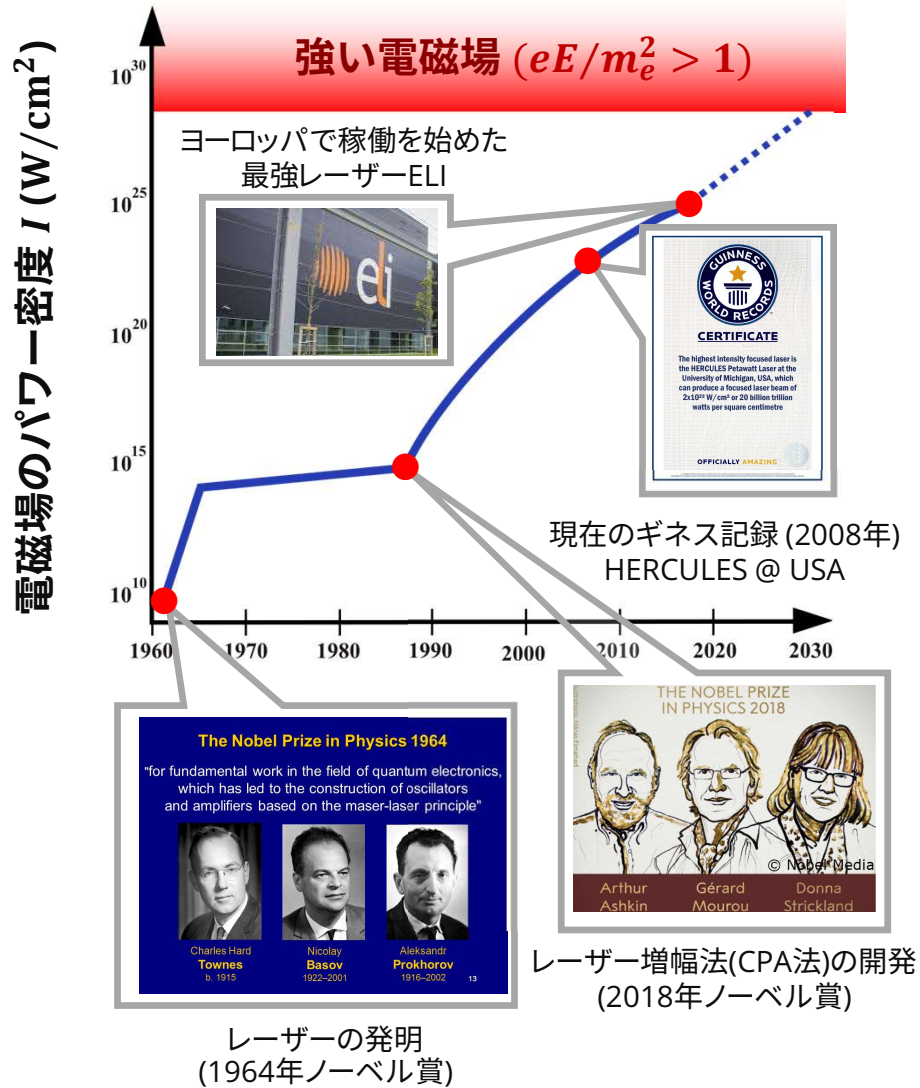
高強度レーザー



∴ 強い電磁場の物理の研究は今がまさにタイムリー

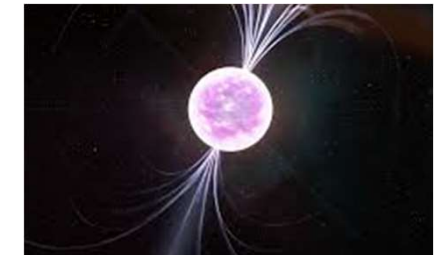
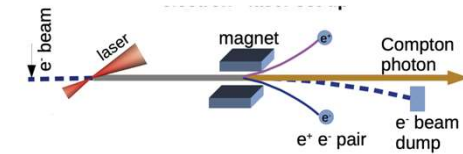
しかし、今まさに強い電磁場の実験・観測が可能になりつつある

高強度レーザー



素核宇の極限系

- 重イオン衝突**
 RHIC (2000~), LHC (2012~), FAIR/NICA/HIAF/J-Parc-HI/... (20XX~)
 $I \sim 10^{35} \text{ W/cm}^2$
 $(eE, eB \sim m_\pi^2 \sim (140 \text{ MeV})^2)$
- 電子加速器 + レーザー**
 数年くらいで開始:
 LUXE @ DESY, FACET-II @ SLAC
 $I \sim 10^{29} \text{ W/cm}^2$
 $(eE, eB > m_e^2 \sim (1 \text{ MeV})^2)$
- コンパクト星: マグネター**
 すぐ (2005~2015), NICER (2017~), XL-Calibur (2018~), IXPE (2021~), ...
 $I \sim 10^{29} \text{ W/cm}^2$
 $(eE, eB > m_e^2 \sim (1 \text{ MeV})^2)$
- アナログ系**
 ブラックホール (重力場)
 宇宙の再加熱 (インフラトン場)
 QGP生成過程 (カラー場)
 ...



∴ 強い電磁場の物理の研究は今まさにタイムリー

何が起こるか？

✓ いろいろ提案されている Review: [Fedotov, Ilderton, Karbstein, King, Seipt, [HT](#), Torgrimsson (2023)]

例) 新しい素過程(光子分裂、真空複屈折、...)、高次高調波発生、スピン流生成、...

QCD相図の変更、異常輸送(カイラル磁気効果)、標準理論を超えた物理のプローブ、...

何が起こるか？

✓ いろいろ提案されている

Review: [Fedotov, Ilderton, Karbstein, King, Seipt, [HT](#), Torgrimsson (2023)]

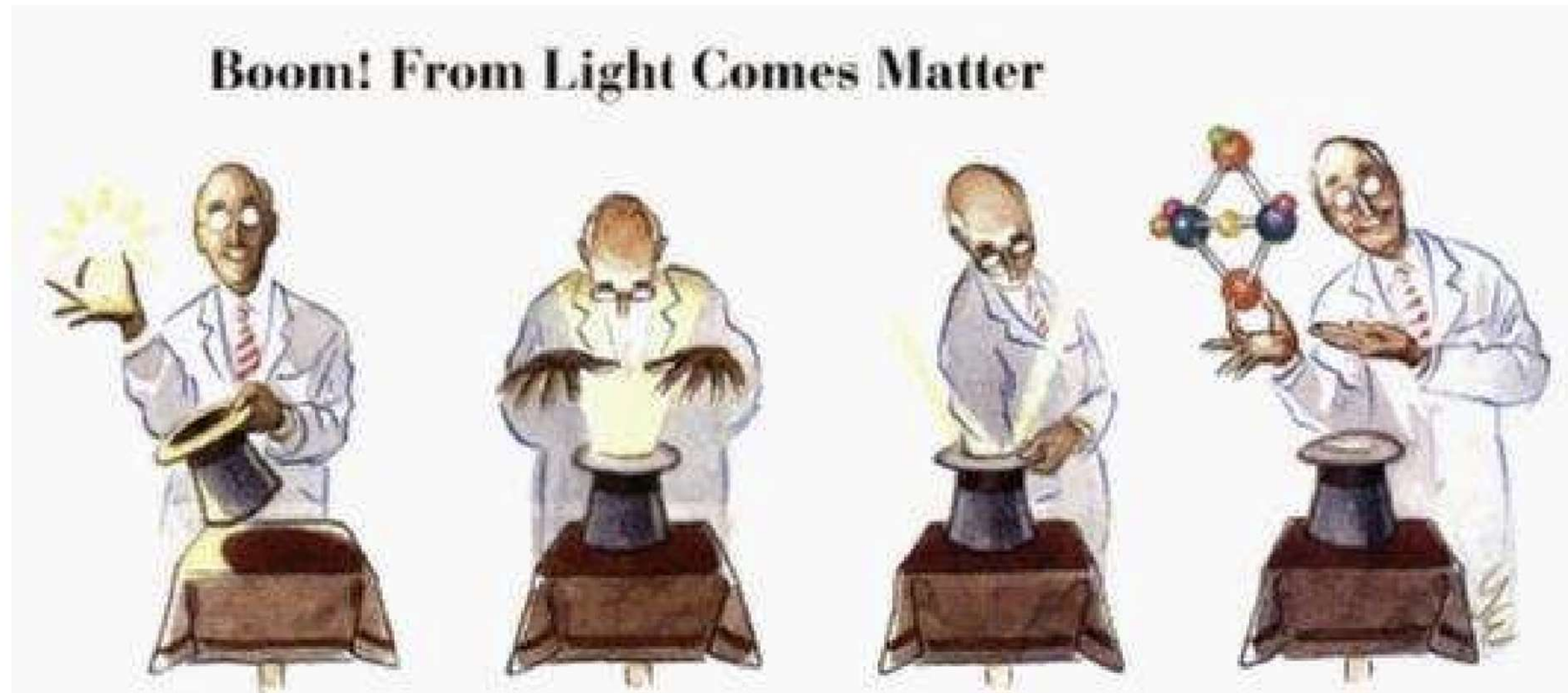
例) 新しい素過程(光子分裂、真空複屈折、...)、高次高調波発生、スピン流生成、...

QCD相図の変更、異常輸送(カイラル磁気効果)、標準理論を超えた物理のプローブ、...

✓ 最もおもしろい予想の1つが、Schwinger機構

[Sauter (1932)] [Heisenberg, Euler (1936)]
[Schwinger (1951)]

= 強い電場があると、真空は粒子生成で壊れてしまう



何が起こるか？

✓ いろいろ提案されている

Review: [Fedotov, Ilderton, Karbstein, King, Seipt, [HT](#), Torgrimsson (2023)]

例) 新しい素過程(光子分裂、真空複屈折、...)、高次高調波発生、スピン流生成、...

QCD相図の変更、異常輸送(カイラル磁気効果)、標準理論を超えた物理のプローブ、...

✓ 最もおもしろい予想の1つが、Schwinger機構

[Sauter (1932)] [Heisenberg, Euler (1936)]
[Schwinger (1951)]

= 強い電場があると、真空は粒子生成で壊れてしまう



何が起こるか？

✓ いろいろ提案されている

Review: [Fedotov, Ilderton, Karbstein, King, Seipt, [HT](#), Torgrimsson (2023)]

例) 新しい素過程(光子分裂、真空複屈折、...)、高次高調波発生、スピン流生成、...

QCD相図の変更、異常輸送(カイラル磁気効果)、標準理論を超えた物理のプロブ、...

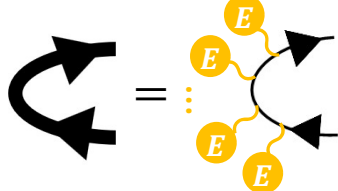
✓ 最もおもしろい予想の1つが、Schwinger機構

[Sauter (1932)] [Heisenberg, Euler (1936)]
[Schwinger (1951)]

= 強い電場があると、真空は粒子生成で壊れてしまう



理論: 定常電場のとき (+ 電場へのバックリアクションや生成粒子間相互作用は無視) のときはよくわかってる

- 大雑把には、 みたいな電場中の $|0; in\rangle \rightarrow |e^- e^+; out\rangle$ の散乱振幅を計算する
⇒ 電場にドレスされた波動関数やプロパゲータの計算が本質
⇨ 電場中のDirac方程式を解く問題に帰着

- 結果: Schwingerの公式 $\frac{N}{VT} = \frac{(eE)^2}{(2\pi)^3} \times \exp\left[-\pi \frac{m^2}{eE}\right] \sim \exp[-\# \times (\text{ギャップの長さ}) \times (\text{ギャップの高さ})]$
[Schwinger (1951)] [Nikishov (1969)]

Schwinger機構の研究の現状

逆に、Schwingerの公式くらいしか確立しているものがない
⇒ 現状: Schwingerの公式を超える努力をしている

Review: [Fedotov, Ilderton, Karbstein, King, Seipt, [HT](#), Torgrimsson (2023)]

✓ 時空間に依存した非一様な電磁場

- レーザー場をどうデザインすれば、Schwinger機構が見えるのか? ⇒ dynamically assisted Schwinger 機構, 量子干渉効果, etc
- Schwinger機構にはどれくらいの時空間サイズの電場が要するのか? ⇒ ケルディッシュパラメータ, etc
- 電場の回転や偏光依存性は? ⇒ Twisted Schwinger effect, etc

✓ 実時間ダイナミクス

- 粒子はいつどうやって作られ、その後、どういう運動をするのか? ⇒ (超)断熱粒子描像, etc
- 粒子生成によって電場はどうやって遮蔽され、熱平衡化するのか? ⇒ プラズマ振動, QED cascade, 流体化, etc

✓ 輻射補正

- 真空が崩壊してることで新しく起こる放射はあるか? ⇒ 真空からの光子生成, 真空からの高次高調波発生, etc
- 輻射補正で臨界電場の値は変わるか? ⇒ Ritus conjecture, ([AdS/CFT](#)による) 電場強度の限界の予言, etc

✓ 粒子数以外の物理量

- 粒子数以外に楽しい観測量はあるか? ⇒ カイラリティ生成, 真空からのスピン流生成, etc

Schwinger機構の研究の現状

逆に、Schwingerの公式くらいしか確立しているものがない
⇒ 現状: Schwingerの公式を超える努力をしている

Review: [Fedotov, Ilderton, Karbstein, King, Seipt, HT, Torgrimsson (2023)]

✓ 時空間に依存した非一様な電磁場

- レーザー場をどうデザインすれば、Schwinger機構が見えるのか? ⇒ dynamically assisted Schwinger 機構, 量子干渉効果, etc
- Schwinger機構にはどれくらいの時空間サイズの電場が要るのか? ⇒ ケルディッシュパラメータ, etc
- 電場の回転や偏光依存性は? ⇒ Twisted Schwinger effect, etc

✓ 実時間ダイナミクス

- 粒子はいつどうやって作られ、その後、どういう運動をするのか? ⇒ (超)断熱粒子描像, etc
- 粒子生成によって電場はどうやって遮蔽され、熱平衡化するのか? ⇒ プラズマ振動, QED cascade, 流体化, etc

✓ 輻射補正

- 真空が崩壊してることで新しく起こる放射はあるか? ⇒ 真空からの光子生成, 真空からの高次高調波発生, etc
- 輻射補正で臨界電場の値は変わるか? ⇒ Ritus conjecture, (AdS/CFTによる) 電場強度の限界の予言, etc

✓ 粒子数以外の物理量

- 粒子数以外に楽しい観測量はあるか? ⇒ カイラリティ生成, 真空からのスピン流生成, etc

目次

1. 導入: 「強い電磁場の物理」と「Schwinger機構」のレビュー

2. メイン: 時間依存があるとSchwinger機構はどう変わるか？

- 準備: 摂動・非摂動的粒子生成の遷移
- Dynamically assisted Schwinger effect
- 真空複屈折

3. まとめ

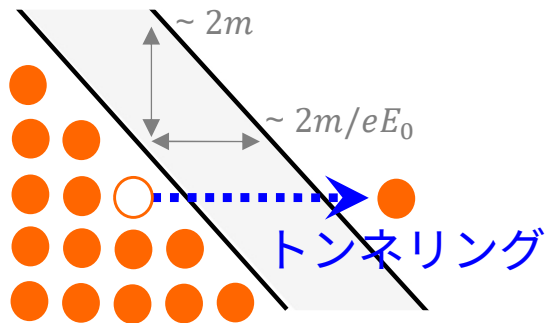
準備(1/3): 摂動的/非摂動的粒子生成の遷移

強さ eE_0 、周波数 Ω を持った時間依存電場

準備(1/3): 摂動的/非摂動的粒子生成の遷移

強さ eE_0 、周波数 Ω を持った時間依存電場

遅い \Rightarrow 非摂動トンネリング $N \sim \exp[\#/eE_0]$



$$\text{トンネリング時間 } \Delta t \sim \frac{2m}{eE_0}$$

\Rightarrow 電場は Δt よりも十分遅くないといけない

$$\Rightarrow \Omega^{-1} \gtrsim \Delta t$$

$$\Rightarrow 1 \gtrsim \frac{\Delta t}{\Omega^{-1}} = \frac{\Omega m}{eE_0} \equiv \gamma \text{ (Keldysh パラメータ)}$$

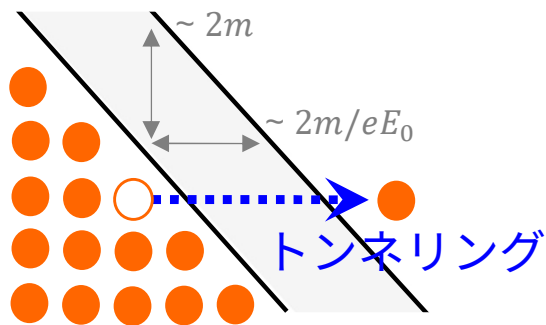
[Keldysh (1965)]

速い \Rightarrow 摂動的な光子散乱 $N \sim eE_0^{2n}$

準備(1/3): 摂動的/非摂動的粒子生成の遷移

強さ eE_0 、周波数 Ω を持った時間依存電場

遅い \Rightarrow 非摂動トンネリング $N \sim \exp[\#/eE_0]$



トンネリング時間 $\Delta t \sim \frac{2m}{eE_0}$

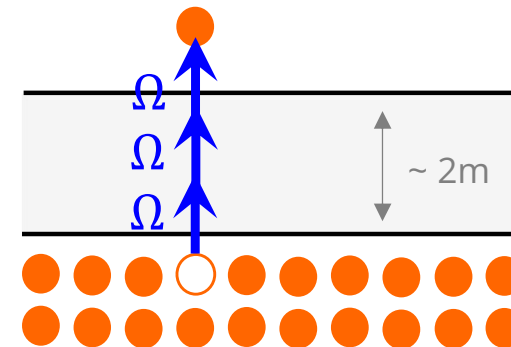
\Rightarrow 電場は Δt よりも十分遅くないといけない

$\Rightarrow \Omega^{-1} \gtrsim \Delta t$

$\Rightarrow 1 \gtrsim \frac{\Delta t}{\Omega^{-1}} = \frac{\Omega m}{eE_0} \equiv \gamma$ (Keldysh パラメータ)

[Keldysh (1965)]

速い \Rightarrow 摂動的な光子散乱 $N \sim eE_0^{2n}$



\Rightarrow 電場はインコヒーレントな光子として相互作用しだす

$\Rightarrow n\Omega > 2m$ となるときに粒子生成

(違う理解: 電場が短寿命だと、電場と Dirac の海は有限回しか相互作用できない)

\therefore 物質で起こる光電効果と本質的に同じ現象が QED 真空でも起こる

準備(2/3): Schwinger機構の“相図”

✓ 理論: 電場中のDirac方程式が解ければよい

アプローチ1: 解ける特別な電場を考える [HI, Fujiii, Itakura (2014)]

アプローチ2: 半古典近似 = \hbar 展開 (トランスシリーズ展開)
$$N = \sum_{n,m} N_{n,m} \hbar^n e^{-m\frac{S}{\hbar}} = (N_{0,1} + O(\hbar)) e^{-\frac{S}{\hbar}} + O(e^{-\frac{2S}{\hbar}})$$

[Brezin, Itzykson (1970)] [Popov (1972)] [Berry (1989)] [Dunne, Shubert (2005)] [HI, Fujimori, Misumi, Nitta, Sakai (2020)]

準備(2/3): Schwinger機構の“相図”

✓ 理論: 電場中のDirac方程式が解ければよい

アプローチ1: 解ける特別な電場を考える [HI, Fujiii, Itakura (2014)]

アプローチ2: 半古典近似 = \hbar 展開 (トランスシリーズ展開)
$$N = \sum_{n,m} N_{n,m} \hbar^n e^{-m \frac{S}{\hbar}} = (N_{0,1} + O(\hbar)) e^{-\frac{S}{\hbar}} + O(e^{-\frac{2S}{\hbar}})$$

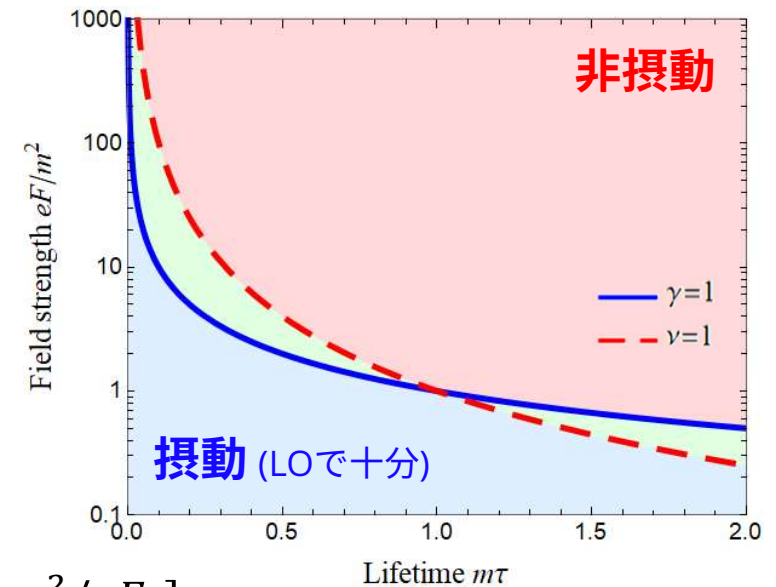
[Brezin, Itzykson (1970)] [Popov (1972)] [Berry (1989)] [Dunne, Schubert (2005)] [HI, Fujimori, Misumi, Nitta, Sakai (2020)]

✓ 結論: 2つの無次元量 (“オーダーパラメタ”) で非摂動・摂動の遷移が決まる

- もともと3つの次元量 ($eE, \tau := 1/\Omega, m$) があるから
無次元量2つで物理はすべて決まる

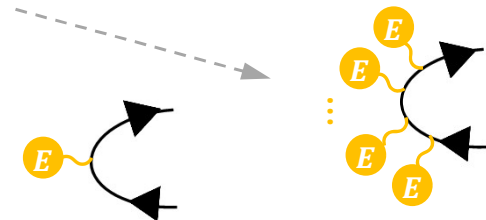
$$\gamma = \frac{m\Omega}{eE} : \text{Keldysh パラメータ}$$

$$\nu = \frac{eE\tau}{\Omega} = \frac{\text{(場がした仕事)}}{\text{(1光子のエネルギー)}} = \text{(過程に関与した光子数)}$$



- $\gamma \ll 1, \nu \gg 1 \Rightarrow$ 非摂動的なSchwinger機構 $N \sim \exp[-m^2/eE_0]$

$$\gamma \gg 1, \nu \ll 1 \Rightarrow \text{摂動的な多光子粒子生成 } N \sim (eE_0/m^2)^{2n}$$



準備(3/3): 摂動的な粒子生成の重要性

✓ 電場が速くなると、素朴なSchwingerの公式からズレる

- 遅い (非摂動的) ⇒ **強い** 指数関数的な抑制 $N \sim \exp[-m^2/eE_0]$
- 速い (摂動的) ⇒ **弱い** 冪的な抑制 $N \sim (eE_0/m^2)^{2n}$

準備(3/3): 摂動的な粒子生成の重要性

✓ 電場が速くなると、素朴なSchwingerの公式からズれる

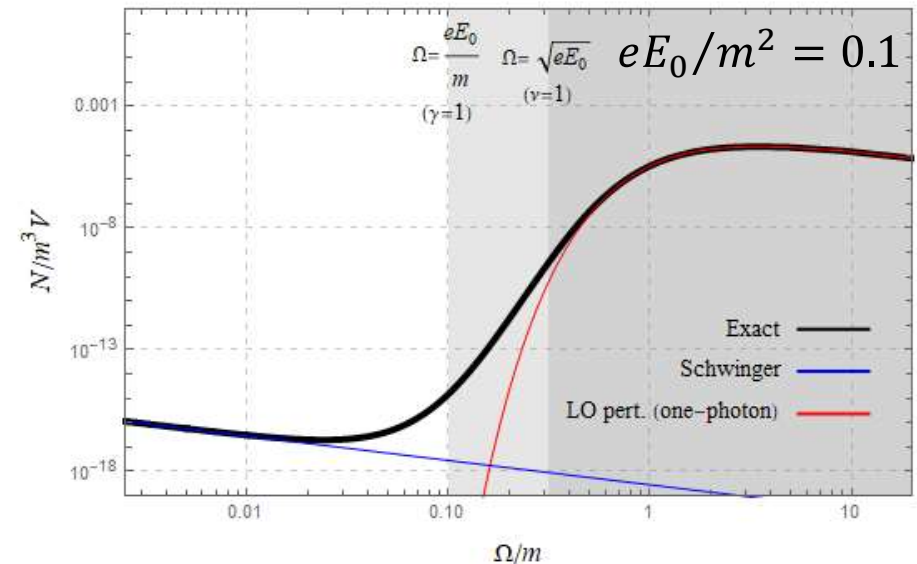
- 遅い (非摂動的) \Rightarrow 強い指数関数的な抑制 $N \sim \exp[-m^2/eE_0]$
- 速い (摂動的) \Rightarrow 弱い冪的な抑制 $N \sim (eE_0/m^2)^{2n}$

✓ (電場がそんなに強くないときは $eE_0 \lesssim m^2$) 速い電場の方がたくさん粒子を作る

- 具体例: 寿命 $\tau = 1/\Omega$ のパルス電場での粒子生成

$$\text{(Sauter電場 } eE(t) = \frac{eE_0}{\cosh^2(\Omega t)})$$

[HT, Fujiii, Itakura (2014)] [HT, Fujimori, Misumi, Nitta, Sakai (2020)]



- 応用例: 弱い電場(例: レーザー)で粒子を作りたいなら、速い電場を利用すると良さそう
 \Rightarrow Dynamically assisted Schwinger effect

Dynamically assisted Schwinger effect (1/3): アイデア

[Dunne, Gies, Schutzhold (2008), (2009)]
半導体のFranz-Keldysh効果のアナログ

速い電場を重ねれば、遅い電場が弱くても、粒子をたくさん作れる



$$N \sim \exp[-\# \times (\text{ギャップの長さ}) \times (\text{ギャップの高さ})] \Rightarrow \text{粒子生成の増大}$$

摂動的な1光子散乱で減る

Dynamically assisted Schwinger effect (2/3): 定式化

[HT (2018)] [Huang, HT (2019)]

ゴール

$E = E_s + \mathcal{E}_f$ をかけたときの粒子生成

全体の電場
強く遅い電場
弱く速い電場

* 他の外場や粒子生成的な問題でも同じ定式化が使えたりする
動的カシミア効果 [HT (2020)] Kibble-Zurek機構 [Suzuki, Iwamura (2023)]

Dynamically assisted Schwinger effect (2/3): 定式化

[HT (2018)] [Huang, HT (2019)]

ゴール

$E = E_s + \mathcal{E}_f$ をかけたときの粒子生成

全体の電場 強く遅い電場 弱く速い電場

* 他の外場や粒子生成的な問題でも同じ定式化が使えたりする
動的カシミア効果 [HT (2020)] Kibble-Zurek機構 [Suzuki, Iwamura (2023)]

STEP 1

Dirac方程式を E_s について非摂動的に、 \mathcal{E}_f について摂動的に解く
⇒ 「Furry描像の摂動論」と業界では呼ばれている [Furry (1951)]

$$[i\partial - e\mathbf{A}_s - m]\hat{\psi} = e\mathcal{A}_f\hat{\psi}$$

$$\Rightarrow \hat{\psi}(x) = \hat{\psi}^{(0)}(x) + \int_{-\infty}^{\infty} dy^4 S_R(x, y) e\mathcal{A}_f(y) \hat{\psi}^{(0)}(y) + O(|e\mathcal{A}_f|^2)$$

ここで、 $\hat{\psi}^{(0)}$ と S_R は、 E_s に非摂動的にドレスされている

$$[i\partial - e\mathbf{A}_s - m]\hat{\psi}^{(0)} = 0$$

$$[i\partial - e\mathbf{A}_s - m]S_R(x, y) = \delta^4(x - y)$$

Dynamically assisted Schwinger effect (2/3): 定式化

STEP 2

in/outでの消滅演算子 $\hat{a}_{p,s}^{\text{in/out}}$, $\hat{b}_{p,s}^{\text{in/out}}$ を場 $\hat{\psi}$ から定義する

$$\begin{pmatrix} \hat{a}_{p,s}^{\text{in/out}} \\ \hat{b}_{-p,s}^{\text{in/out}\dagger} \end{pmatrix} \equiv \lim_{t \rightarrow -\infty / +\infty} \int d^3 \mathbf{x} \begin{pmatrix} (u_{p,s} e^{-i\omega_p t} e^{i\mathbf{p}\cdot\mathbf{x}})^\dagger \\ (v_{p,s} e^{+i\omega_p t} e^{i\mathbf{p}\cdot\mathbf{x}})^\dagger \end{pmatrix} \hat{\psi}(x)$$

cf. ペスキンの章末問題

Dynamically assisted Schwinger effect (2/3): 定式化

STEP 2

in/outでの消滅演算子 $\hat{a}_{p,s}^{\text{in/out}}$, $\hat{b}_{p,s}^{\text{in/out}}$ を場 $\hat{\psi}$ から定義する

cf. ペスキンの章末問題

$$\begin{pmatrix} \hat{a}_{p,s}^{\text{in/out}} \\ \hat{b}_{-p,s}^{\text{in/out}\dagger} \end{pmatrix} \equiv \lim_{t \rightarrow -\infty / +\infty} \int d^3 \mathbf{x} \begin{pmatrix} (u_{p,s} e^{-i\omega_p t} e^{i\mathbf{p}\cdot\mathbf{x}})^\dagger \\ (v_{p,s} e^{+i\omega_p t} e^{i\mathbf{p}\cdot\mathbf{x}})^\dagger \end{pmatrix} \hat{\psi}(x)$$

⇒ in/outの演算子は同じでない $\hat{a}_{p,s}^{\text{in}} \neq \hat{a}_{p,s}^{\text{out}}$ 。Bogoliubov変換で結びつく。

$$\begin{pmatrix} \hat{a}_{p,s}^{\text{out}} \\ \hat{b}_{-p,s}^{\text{out}\dagger} \end{pmatrix} = \sum_{s'} \int d^3 \mathbf{p}' \begin{pmatrix} \alpha_{p,s;p',s'} & \beta_{p,s;p',s'} \\ -\beta_{p,s;p',s'}^* & \alpha_{p,s;p',s'}^* \end{pmatrix} \begin{pmatrix} \hat{a}_{p',s'}^{\text{in}} \\ \hat{b}_{-p',s'}^{\text{in}\dagger} \end{pmatrix}$$

Bogoliubov係数は、 $e\mathcal{A}_f$ のLOで、

$$\begin{aligned} \alpha_{p,s;p',s'} &= \int d^3 \mathbf{x} + \psi_{p,s}^{(0)\text{out}\dagger} + \psi_{p',s'}^{(0)\text{in}} - i \int d^4 x + \bar{\psi}_{p,s}^{(0)\text{out}} e\mathcal{A}_f + \psi_{p',s'}^{(0)\text{in}} + O(|e\mathcal{A}_f|^2) \\ \beta_{p,s;p',s'} &= \int d^3 \mathbf{x} - \psi_{p,s}^{(0)\text{out}\dagger} + \psi_{p',s'}^{(0)\text{in}} - i \int d^4 x - \bar{\psi}_{p,s}^{(0)\text{out}} e\mathcal{A}_f + \psi_{p',s'}^{(0)\text{in}} + O(|e\mathcal{A}_f|^2) \end{aligned}$$

ここで、 $\pm \psi_{p,s}^{(0)\text{i}/\text{out}}$ は $e\mathcal{A}_s$ にフルにドレスされた解

$$[i\partial - e\mathcal{A}_s - m] \pm \psi_{p,s}^{(0)\text{i}/\text{out}} = 0 \quad \text{w/} \quad \lim_{t \rightarrow -\infty / +\infty} \begin{pmatrix} +\psi_{p,s}^{(0)\text{in/out}} \\ -\psi_{p,s}^{(0)\text{i}/\text{out}} \end{pmatrix} = \begin{pmatrix} u_{p,s} e^{-i\omega_p t} e^{i\mathbf{p}\cdot\mathbf{x}} \\ v_{p,s} e^{-i\omega_p t} e^{i\mathbf{p}\cdot\mathbf{x}} \end{pmatrix}$$

Dynamically assisted Schwinger effect (2/3): 定式化

STEP 3

数演算子の期待値を評価する

$$\frac{d^3 N_e}{d\mathbf{p}^3} \equiv \langle \text{vac}; \text{in} | a_{\mathbf{p},s}^{\text{out}} a_{\mathbf{p},s}^{\text{out}} | \text{vac}; \text{in} \rangle = \sum_{s'} \int d^3 \mathbf{p}' |\beta_{\mathbf{p},s;\mathbf{p}',s'}|^2$$

興味ある状況: E_s 十分遅い \approx 定常電場と近似してよい

\Rightarrow Dirac方程式は解析的に解けるので $\pm \psi_{\mathbf{p},s}^{(0)\text{i}/\text{out}}$ は知っている

$\Rightarrow \beta_{\mathbf{p},s;\mathbf{p}',s'}$ は厳密に計算できる

Dynamically assisted Schwinger effect (2/3): 定式化

STEP 3

数演算子の期待値を評価する

$$\frac{d^3 N_e}{dp^3} \equiv \langle \text{vac}; \text{in} | a_{p,s}^{\text{out}\dagger} a_{p,s}^{\text{out}} | \text{vac}; \text{in} \rangle = \sum_{s'} \int d^3 \mathbf{p}' |\beta_{p,s;p',s'}|^2$$

興味ある状況: E_s 十分遅い \approx 定常電場と近似してよい

\Rightarrow Dirac方程式は解析的に解けるので $\pm \psi_{p,s}^{(0)i / \text{out}}$ は知っている

$\Rightarrow \beta_{p,s;p',s'}$ は厳密に計算できる

✓ 細かいコメント

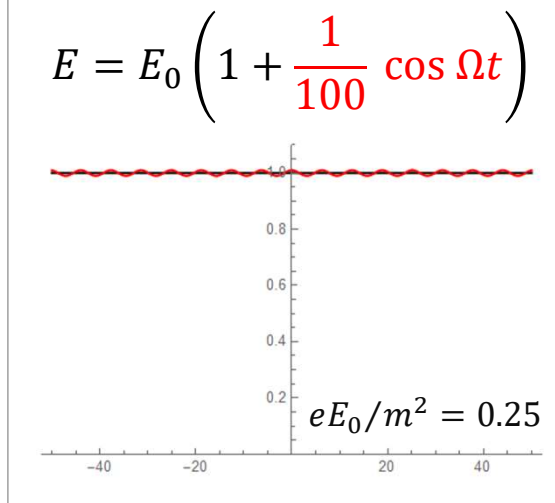
- 数演算子の期待値を直接計算 = 粒子生成数 \neq 真空崩壊率 $\text{Im } L$ [Cohen, McGady (2008)]

$$= \sum_n n P_{n \text{ pair}} = \sum_n P_{n \text{ pair}}$$

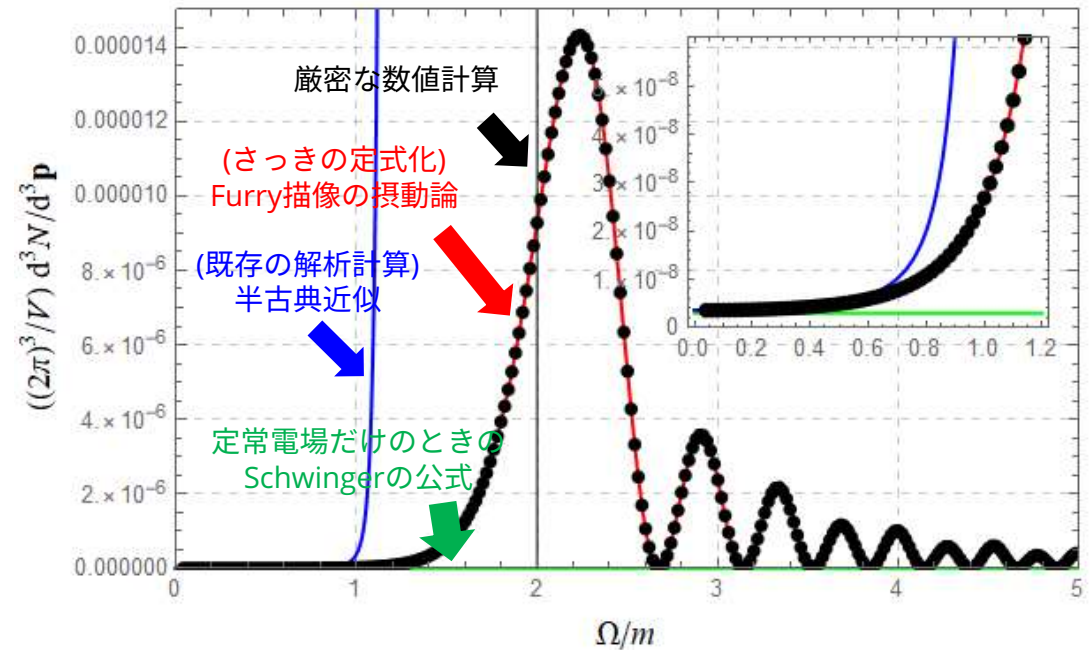
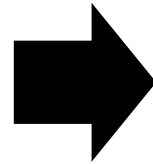
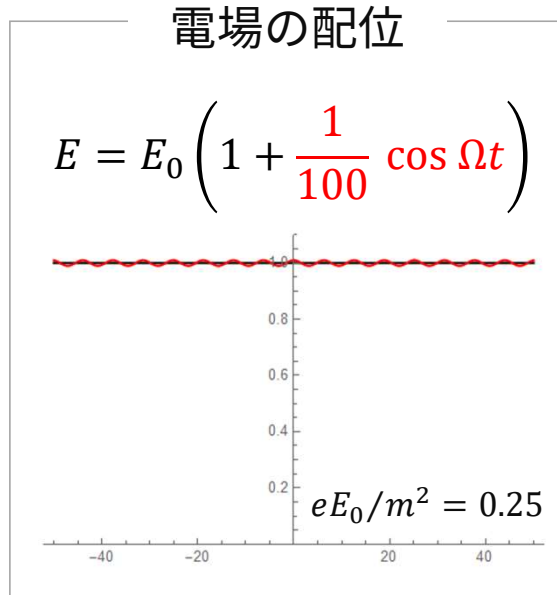
- $\pm \psi_{p,s}^{(0)\text{in/out}}$ の厳密解を知らない場合は、WKB波動関数を使って近似的な評価ができたりする
- 数値的評価が難しい、速い電場が時空間に依存する場合も解析評価可能
(しかし、電場をスケール分離できない場合は適用できず、ちゃんと偏微分方程式を解くしかない)
 \Rightarrow なので、open question。機械学習とか賢いソルバーが使えたりしない？
- スケール分離があいまいになると(例: 速い電場の周波数を遅くするような赤外極限)、赤外発散がしばしば出る \leftarrow 現象論的に取除けるが、厳密な処理は少なくとも田屋は知らない

Dynamically assisted Schwinger effect (3/3): 結果

電場の配位



Dynamically assisted Schwinger effect (3/3): 結果



✓ 技術的にわかったこと

- Furry描像の摂動論はすごい ← 既存の解析計算(半古典近似)では無理な領域も解析計算可に

✓ 物理としてわかったこと

- 予想通り: 速い電場がとても弱くても、たしかにとても増大する
- 予想外: 高周波領域に行くと、振動する ← 強い電場中の真空構造と関係 (次のスライド)

✓ 現象論 (特にレーザー) としてうれしいこと

- レーザーは強くなっているが、まだSchwinger機構の直接検証は絶望的 ⇒ 「工夫」が必須

$$N \propto \exp \left[-\# \frac{m^2}{eE} \right] \Rightarrow 1 \text{ペア作るのに } 10^{3500} \text{ 年 } (>> \text{宇宙年齢 } 10^{10} \text{ 年!})$$

[HT, Ironside (2023)]

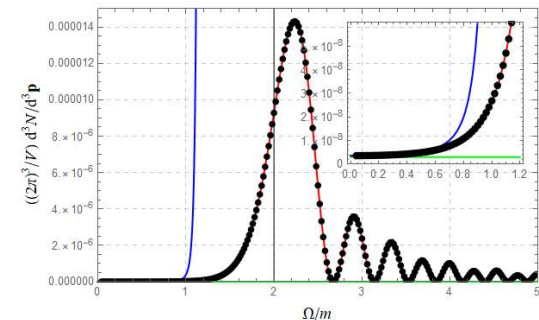
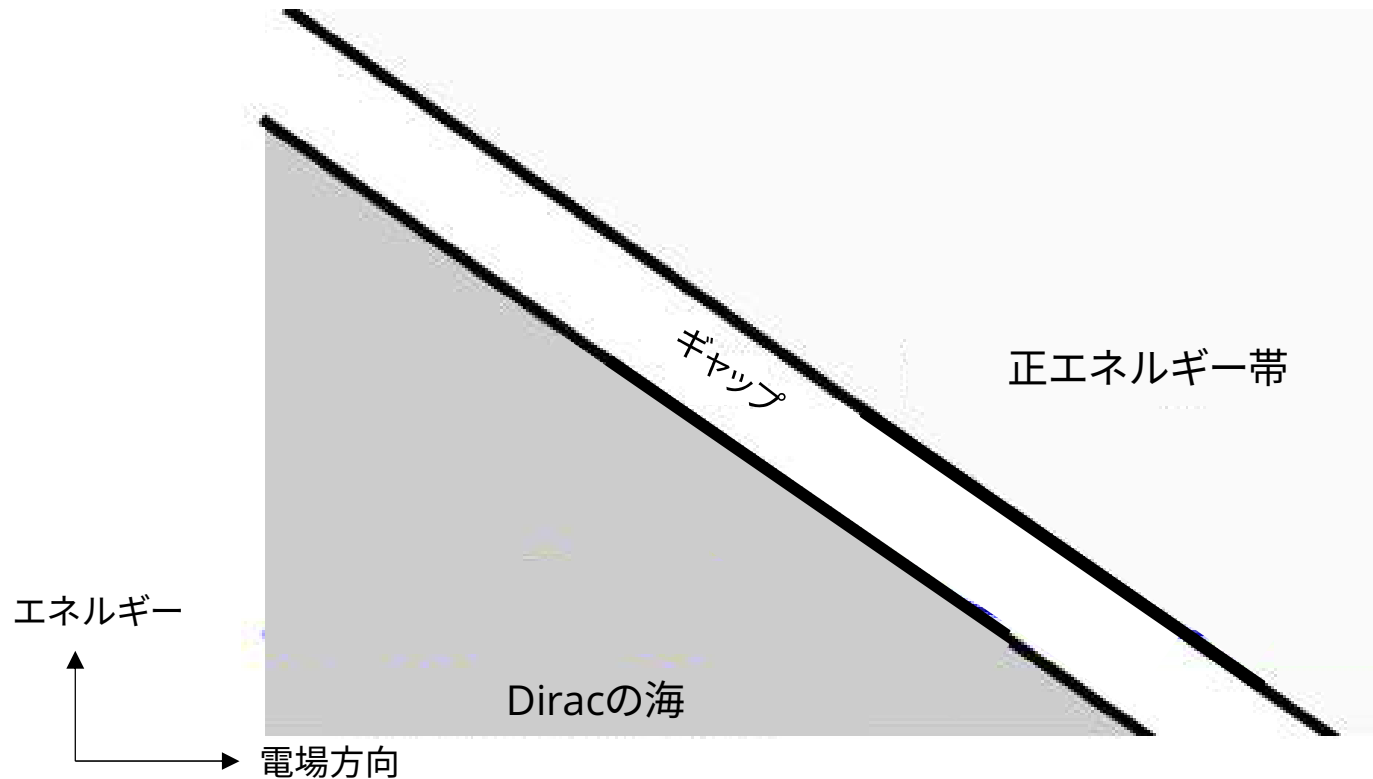
- もし $\Omega \sim 2m_e \sim 1 \text{ MeV}$ のzeptosecond光源 (γ 線領域) ⇒ レーザー + zeptosecond光源で、1ペア/1日くらい!

⇒ 時(空)間依存性をうまく使って電磁場をデザインすればSchwinger機構が近い将来見えるかも

振動の物理描像: 強い電場中の "ゆがんだ" QED真空

強い場があると真空 (\approx Diracの海) はゆがむ (= 真空偏極)

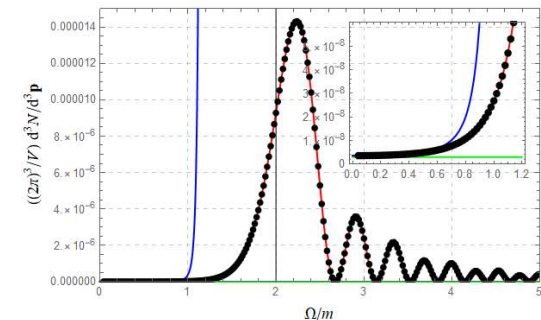
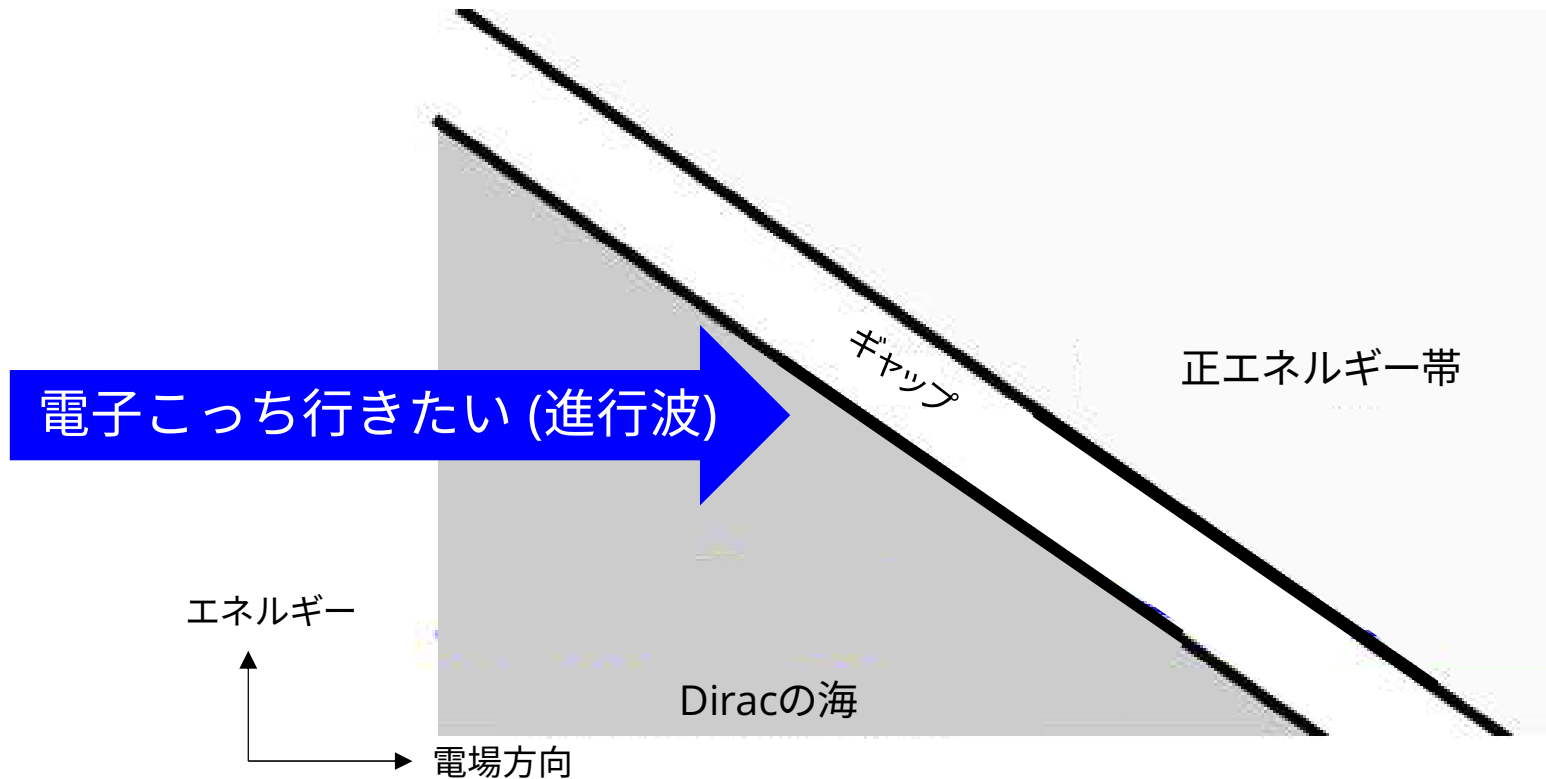
\leftarrow 動的にアシストされたSchwinger機構の粒子数スペクトルに強く反映



振動の物理描像: 強い電場中の "ゆがんだ" QED真空

強い場があると真空 (\approx Diracの海) はゆがむ (= 真空偏極)

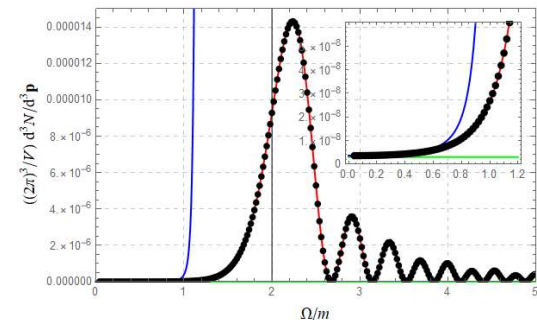
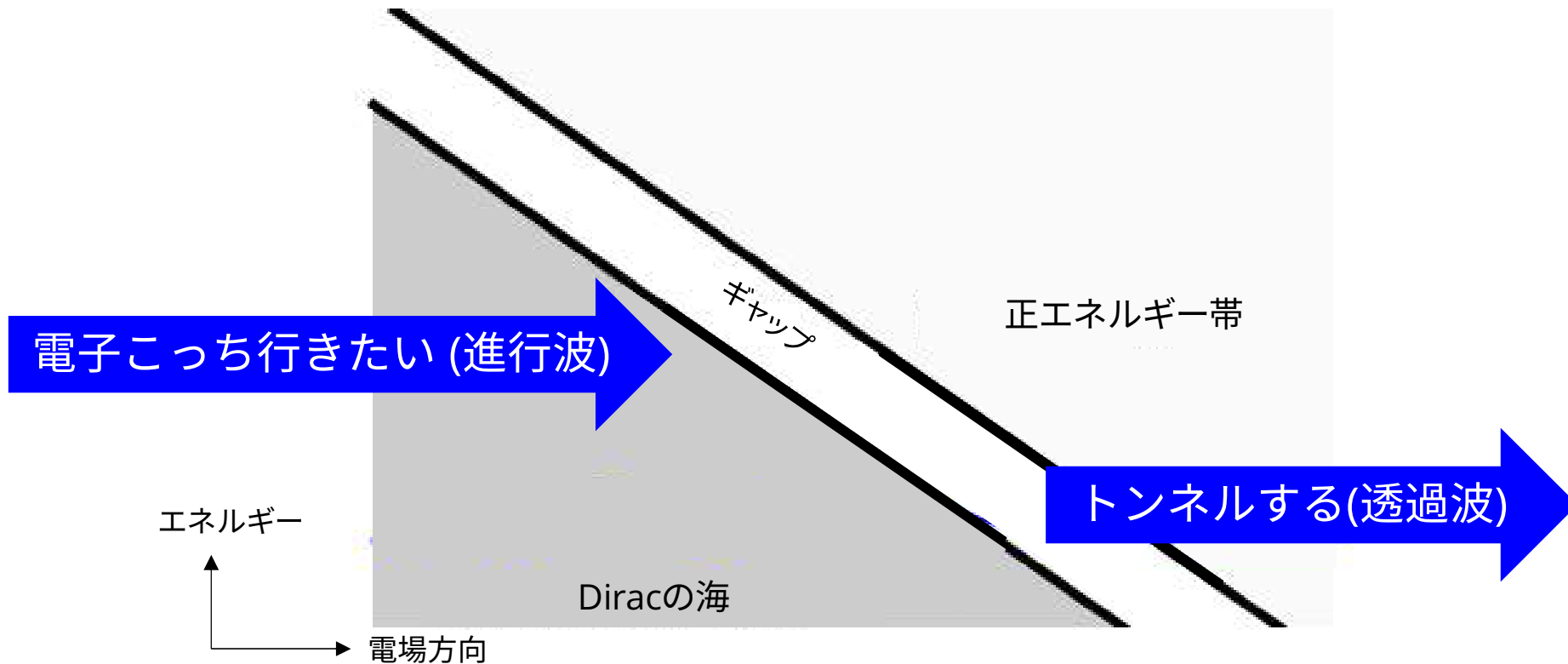
\leftarrow 動的にアシストされたSchwinger機構の粒子数スペクトルに強く反映



振動の物理描像: 強い電場中の "ゆがんだ" QED真空

強い場があると真空 (\approx Diracの海) はゆがむ (= 真空偏極)

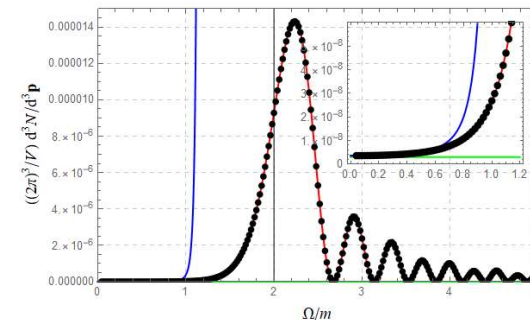
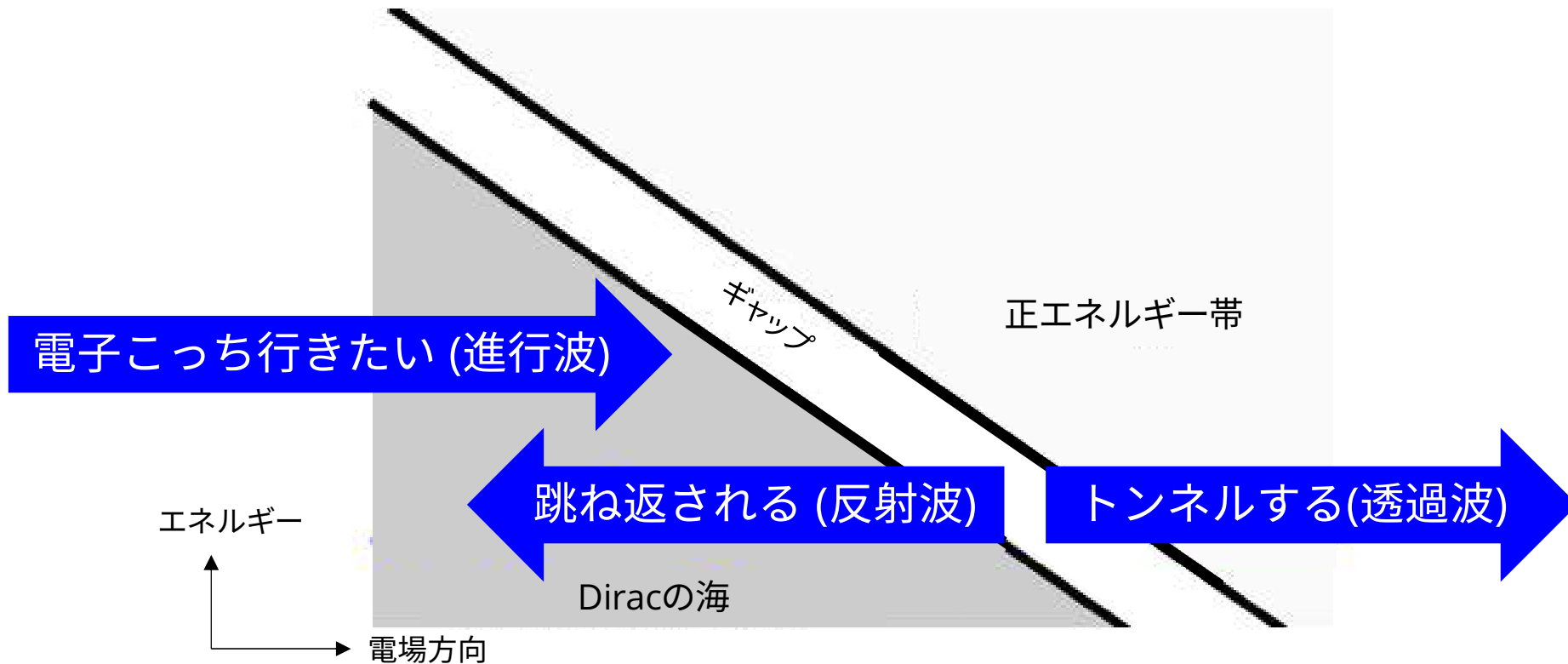
\leftarrow 動的にアシストされたSchwinger機構の粒子数スペクトルに強く反映



振動の物理描像: 強い電場中の "ゆがんだ" QED真空

強い場があると真空 (\approx Diracの海) はゆがむ (= 真空偏極)

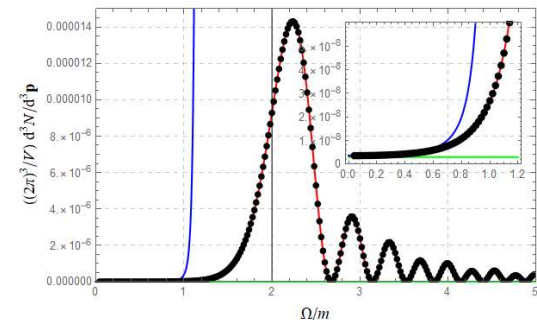
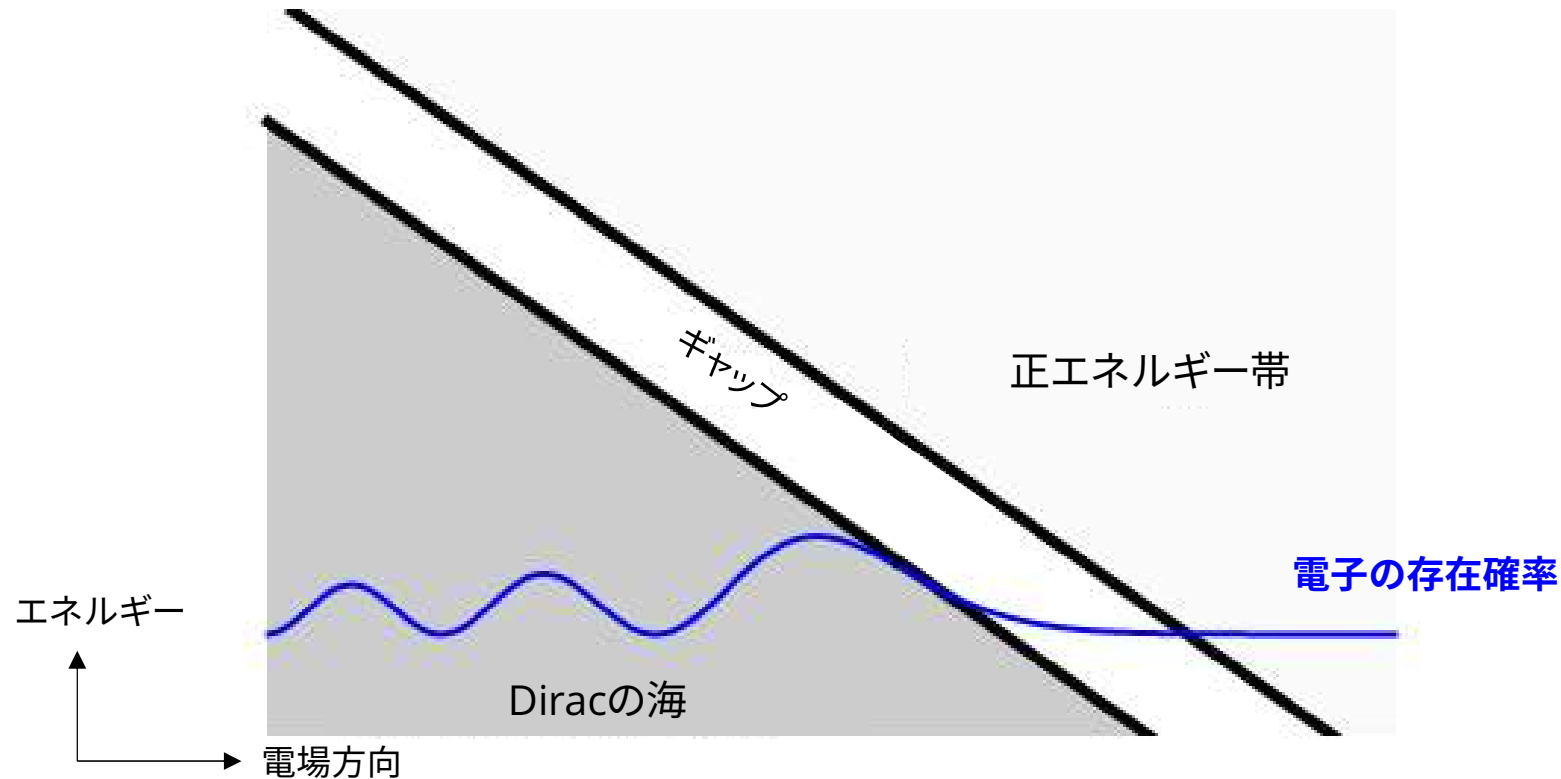
\leftarrow 動的にアシストされたSchwinger機構の粒子数スペクトルに強く反映



振動の物理描像: 強い電場中の "ゆがんだ" QED真空

強い場があると真空 (\approx Diracの海) はゆがむ (= 真空偏極)

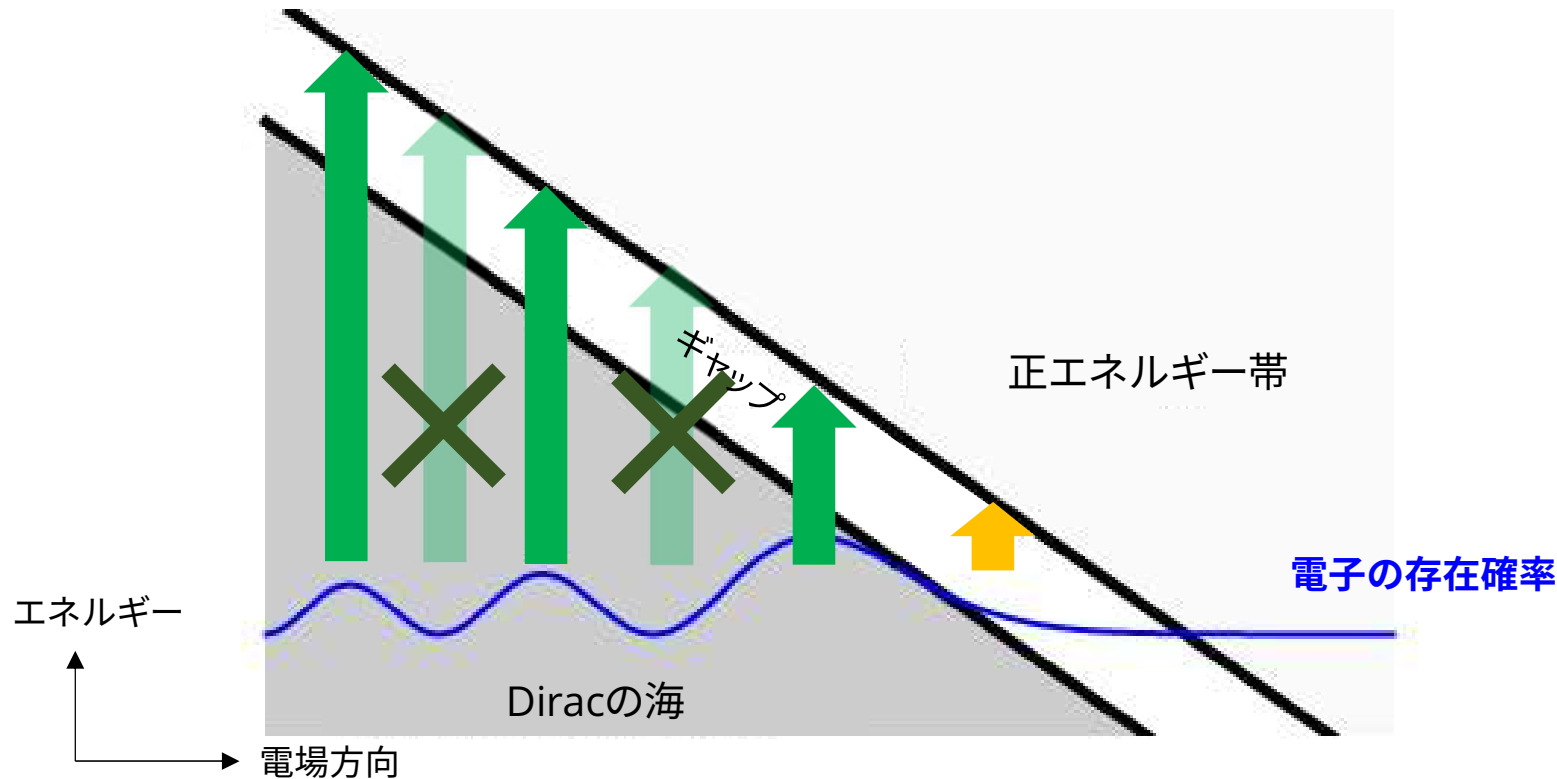
\leftarrow 動的にアシストされたSchwinger機構の粒子数スペクトルに強く反映



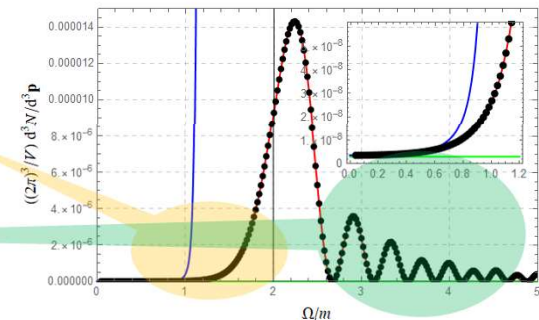
振動の物理描像: 強い電場中の "ゆがんだ" QED真空

強い場があると真空 (\approx Diracの海) はゆがむ (= 真空偏極)

\leftarrow 動的にアシストされたSchwinger機構の粒子数スペクトルに強く反映



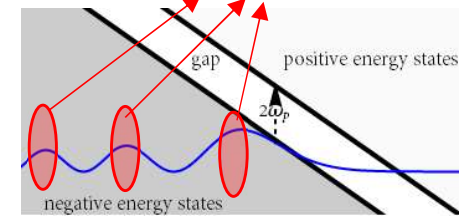
- 量子トンネリング \Rightarrow 粒子生成の増大
- 量子反射 \Rightarrow 粒子生成の振動



QED真空のゆがみと真空複屈折

**教訓: 真空のゆがみは、Schwinger機構だけでなく、
真空の上で起こるいろんな物理過程に影響**

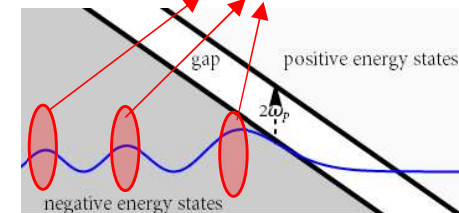
確率密度が大きい \Rightarrow より影響



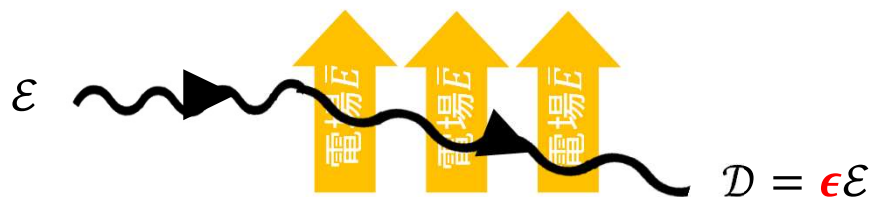
QED真空のゆがみと真空複屈折

教訓: 真空のゆがみは、Schwinger機構だけでなく、
真空の上で起こるいろんな物理過程に影響

確率密度が大きい \Rightarrow より影響



例) 強い電場中の誘電率 ϵ



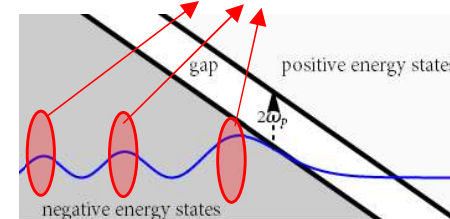
[HT, Ironside (2023)]

cf. 強い磁場中の屈折率
[Hattori, Itakura (2013)]

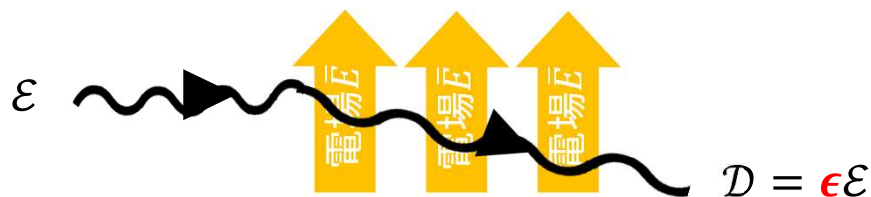
QED真空のゆがみと真空複屈折

教訓: 真空のゆがみは、Schwinger機構だけでなく、真空の上で起こるいろんな物理過程に影響

確率密度が大きい \Rightarrow より影響



例) 強い電場中の誘電率 ϵ



[HT, Ironside (2023)]

cf. 強い磁場中の屈折率
[Hattori, Itakura (2013)]

理論:

- 電磁気学いわく $D = \epsilon + P$ で $\dot{P} = J$ なので電流 J を計算 \Rightarrow  の評価に帰着
- 虚部: Dynamically assisted Schwinger による粒子生成と対応:  \approx  $\Big|$ $\approx N$
- 実部: 因果律 \Rightarrow Kramers-Kronigの関係式を使えば虚部から構築可

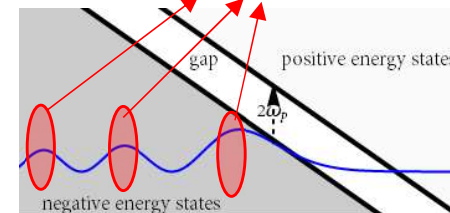
$$\text{Re } \epsilon(\omega) = \frac{1}{\pi} \text{P.V.} \int_{-\infty}^{+\infty} d\omega' \frac{1}{\omega' - \omega} \text{Im } \epsilon(\omega')$$

Opticsで良く使う計算法
(cf. electroreflectance)

QED真空のゆがみと真空複屈折

教訓: 真空のゆがみは、Schwinger機構だけでなく、真空の上で起こるいろんな物理過程に影響

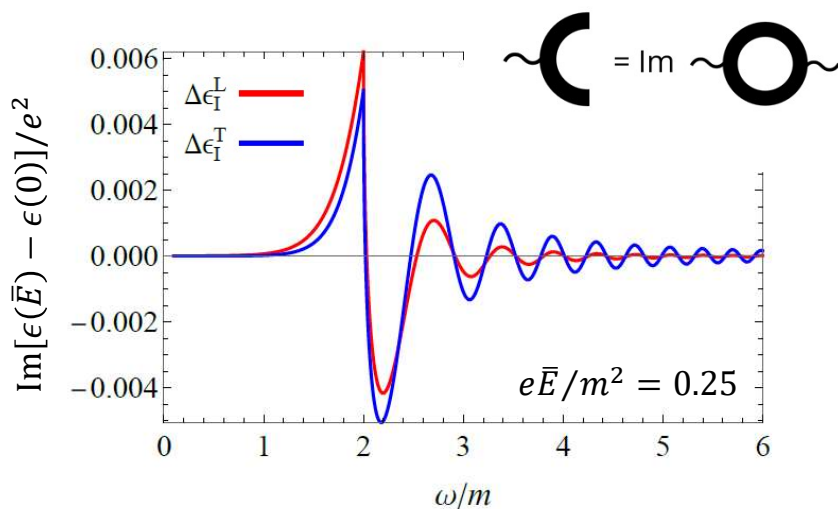
確率密度が大きい \Rightarrow より影響



結果:

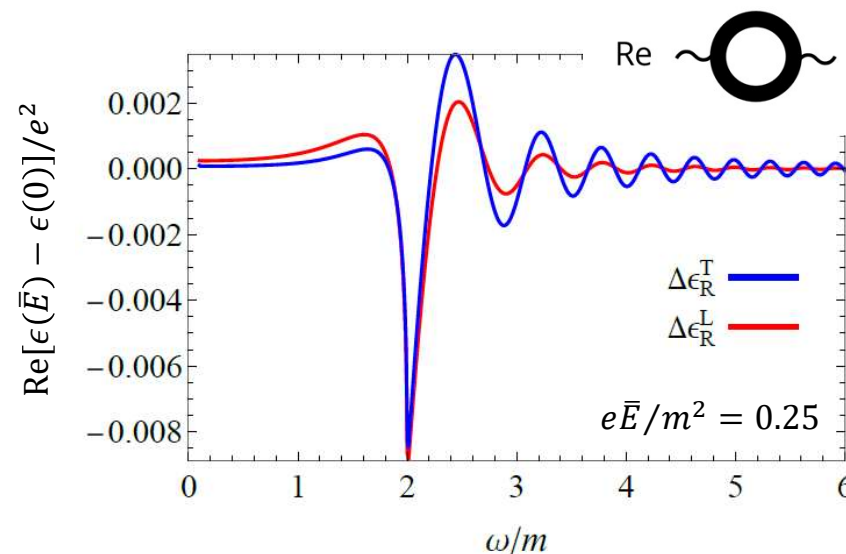
誘電率の虚部

(dynamically assisted SchwingerのNに対応)



Kramers-Kronig
関係式

誘電率の実部



- 振動する様子 \Leftarrow QED真空のゆがみ
- 電場の方向で応答が違う = 真空複屈折



- よく見ると、振動の場所は変わらない \Leftarrow 真空のゆがみはプローブの向きには依らない

目次

1. 導入: 「強い電磁場の物理」と「Schwinger機構」のレビュー

2. メイン: 時間依存があるとSchwinger機構はどう変わるか？

- ・ 準備: 摂動・非摂動的粒子生成の遷移
- ・ Dynamically assisted Schwinger effect
- ・ 真空複屈折

3. まとめ

まとめ

✓ 問題・状況設定

QED真空に「強い電場」をかける

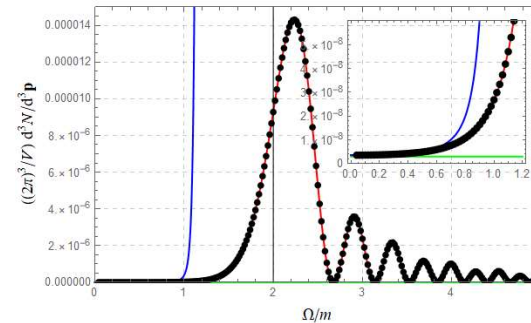
- 最近のレーザーの高強度化に伴いホット。極限物理の理解でもしばしば大事
- いろんなおもしろいことが起きる (=: 強い場の物理) ⇒ 例: Schwinger機構

✓ 今日のトークでやったこと

強い電磁場が時間依存する状況の解析 (道具: Furry描像の摂動論)

⇒ ほんの少しでも時間依存すると、物理は**劇的に**変わって楽しい

例1) 時間依存性による粒子生成の爆発的な増大
(:= dynamically assisted Schwinger effect)



例2) 真空構造の変化
と真空複屈折

